

## اثر افزودنی اکسید سریم بر ریزساختار و مقاومت به خوردگی پوشش‌های آلیاژی پایه نیکل

سید محمدحسین رضوی علوی<sup>\*</sup> و محمدرضا سائری<sup>۲</sup>

<sup>۱</sup>دانشگاه آزاد اسلامی، دانشکده مهندسی مواد، نجف آباد، اصفهان، ایران

<sup>۲</sup>دانشگاه شهرکرد، دانشکده مهندسی مواد، شهرکرد، ایران

تاریخ ثبت اولیه: ۱۳۹۳/۳/۱۷، تاریخ دریافت نسخه اصلاح شده: ۱۳۹۳/۱۱/۲۰، تاریخ پذیرش قطعی: ۱۳۹۳/۱۱/۲۶

**چکیده:** امروزه پوشش‌های پایه نیکلی به علت دارا بودن ویژگی‌هایی مطلوب نظیر مقاومت به خوردگی بالا در انواع محیط‌های خورنده و در اکثر محیط‌های صنعتی مورد توجه قرار گرفته‌اند. اما در اثرات افزودن افزودنی‌ها بر خواص این پوشش‌ها هنوز ابهاماتی وجود دارد. علاوه بر این همواره علایق زیادی در رابطه با بررسی امکان‌پذیری استفاده از روش سماتانتاسیون فشرده جهت اعماق این پوشش به علت هزینه کمتر و امکان پوشش دادن قطعات با اشکال پیچیده‌تر وجود دارد. لذا در تحقیق حاضر درصد‌های متفاوتی از افزودنی اکسید سریم (۱، ۳ و ۵ درصد) بر روی مواد اولیه پوشش دادن با پایه‌نیکل (۵۶٪ نیکل، ۷/۵٪ کرم، ۴/۵٪ آهن، ۴/۵٪ سیلیسیم، ۳/۵ درصد بور) اضافه شد و پوشش دادن به روش سماتانتاسیون بر زیرلایه فولاد ساختمانی اعمال گردید. سپس پوشش‌های حاصل از لحاظ ریزساختار، ترکیب، فازهای ساختاری و مقاومت به خوردگی بررسی شدند. جهت مشخصه‌یابی از میکروسکوپ الکترونی روبشی (SEM) و آنالیز پراش پرتوایکس (XRD) استفاده گردیده است. همچنین برای بررسی خوردگی، آزمون پلاریزاسیون دینامیک تافل در محلول خورنده ۳/۵ درصد نمک طعام انجام شد. مقایسه نتایج بررسی‌ها بر روی پوشش با افزودنی و بدون افزودنی  $\text{CeO}_2$  نشان داد که اضافه کردن  $\text{CeO}_2$  باعث ریزشدن و تراکم بیشتر ساختار شده است. همچنین سرعت خوردگی با افزایش درصد اکسید سریم کاهش می‌یابد. با مقایسه درصد بازدارندگی پوشش نمونه‌های سماتانتاسیونی دریافتیم که نمونه ۵ درصد سریم با معیار ۸۶٪ دارای بیشترین درصد بازدارندگی می‌باشد.

**کلمات کلیدی:** اکسید سریم، سماتانتاسیون فشرده، خوردگی، پوشش، پایه نیکل.

## Effects of $\text{CeO}_2$ addition on corrosion resistance and microstructure of the Ni-base coatings

Seyed-Mohammad-Hosein Razavi-Alavi<sup>\*1</sup>, Mohammad-Reza Saeri<sup>2</sup>

<sup>1</sup> Islamic Azad University, Department of Materials Engineering, Najaf Abad, Esfahan, Iran

<sup>2</sup>University of shahre-kord, Department of Materials Engineering, shahre-kord, iran

**Abstract** Nowadays, there is considerable attention to use of Ni-base coatings on steel because of its high corrosion resistance in various corrosive environments; there is still a considerable void in our knowledge of the influences of additives on corrosion and microstructure of these coatings. Besides, using of Ni-base pack cementation method has been very attractive because of its low-cost and ability to coat complex shapes and even the internal surfaces of the samples. For these purposes various amounts of  $\text{CeO}_2$  (1wt%, 3wt% and 5wt%) was added to the Ni-base (NiCrBSi)(56% Ni, 24% Cr, 7.5% C, 4.5% Fe, 4.5% Si, 3.5% B) raw materials. The pack cementation coating method were used on a mild steel substrate. SEM, XRD, optical microscopy and X-ray diffraction analysis methods were used to characterize the coats. Moreover polarization dynamics corrosion test was also used to study of corrosion in a 3.5% NaCl solution. The results showed that Ni-base pack cementation coats are more corrosion resistance. Besides, the corrosion rates were decreased with increasing the  $\text{CeO}_2$  contents in the coat. By comparing the percent inhibition of samples coat a sample of 5% cerium cementation found that the criterion of 86% is the maximum percent inhibition.

**Keywords:** coating, Ni base coat, cerium oxide, corrosion, pack cementation.

\* عهده‌دار مکاتبات

نشانی: نجف آباد، دانشگاه آزاد اسلامی واحد نجف آباد، تلفن: ۰۹۳۳۵۵۹۲۵۲۲، دورنگار: -، پیام‌نگار: Mohamad\_razavialavi@yahoo.com

## ۱- مقدمه

پوشش نجیب‌تر از فلز اصلی باشد وجود تخلخل در آن باعث خوردگی حفره‌ای فلز اصلی می‌شود. زیرا چگالی جریان در نقاط آندی بالا می‌رود و در نقاط خاصی مرکز می‌شود [۵]. روش سماتاسیون فشرده به عنوان پوشش‌دهی سطح فلزات برای حفاظت از اکسیداسیون و خوردگی است. این روش، ارزان، ساده و برای ایجاد پوشش یکنواخت بر روی اجزاء پیچیده مانند دیواره‌های داخلی و خارجی توربین‌ها و پوشش‌های مقاوم به اکسیداسیون و سایش در صنعت پتروشیمی مانند شیرها، محور پمپ‌ها، سینلندر، پیچ وغیره استفاده می‌شود [۶].

هدف از این پژوهش بررسی اثر افزودنی عناصر خاکی کمیاب به ویژه اکسیدسریم جهت بهبود مقاومت به خوردگی پوشش‌های سماتاسیونی است. تحقیقات کمی روی اثر عناصر خاکی کمیاب (RES)، بر روی خواص تربیولوژیکی پوشش‌های پایه نیکل انجام شده است. اصطلاحاً به عناصر خاکی کمیاب، ویتامین فلزات نیز گفته می‌شود از جمله این عناصر لاتانیوم و سریم است. مطالعات نشان داده که با افزودن مقدار زیادی بر روی پوشش‌های پایه نیکل (بخصوص NiCrBSi) در روش‌های مختلف انجام شده است اما در رابطه با روش سماتاسیون پوشش‌های پایه نیکل فقط به دو مقاله محدود می‌شود. بررسی‌ها بر روی ریزساختار و مقاومت به اکسیداسیون دردمای بالا و اثر دما و میزان فعال‌کننده بر روی پوشش NiCrBSi توسط فرایند سماتاسیون فشرده انجام شده است. طی بررسی‌های انجام شده عملیات سماتاسیون بر روی فولاد کم کربن در محدوده دمایی  $900^{\circ}\text{C}$  و به مدت ۴ ساعت انجام می‌گیرد و نتیجه آن تشکیل لایه نازک پایه نیکل به ضخامت ۸۵-۹۵ میکرومتر، سختی HV ۱۰۰۰ در سطح قطعه است که به واسطه آن مقاومت به سایش، خوردگی، اکسیداسیون و خستگی بهبود می‌یابد. در روش اعمال این پوشش زیرلایه فولادی را درون بوته آلومینایی در بستر مخلوط پودر که شامل پودر فلزی (NiCrBSi)، فعال کننده  $\text{NH}_4\text{Cl}$  و آلومینا به عنوان پرکننده قرار می‌دهند. سپس بوته پلمپ و درون کوره الکتریکی با گاز آرگون در دمای حدود ۹۰۰ به مدت حدود ۴ ساعت تحت عملیات حرارتی قرار می‌گیرد.

در چند دهه گذشته نیاز به بهبود قابل توجه خواص سطحی آلیاژهای مهندسی منجر به پیشرفت در بسیاری از روش‌های عملیات سطحی شده است. پوشش دادن یکی از روش‌های تکمیل سطح مواد است که برای مصارف مختلفی از جمله وسایل تزئینی، بهداشتی، مکانیکی و ... اعمال می‌شود. با استفاده از آن می‌توان خواص خوردگی، سایشی و اصطکاکی فلزات را بهبود بخشد و هزینه تولید را با توجه به عمر نهایی کاهش داد [۲-۱]. سطح مواد نقش اساسی در کنترل طول عمر موادی که توسط حملات محیطی خصوصاً خوردگی و سایش تخریب شده‌اند، بازی می‌کند. سالانه تلفات اقتصادی زیادی در صنایع مختلف از طریق خسارت خوردگی و سایش بر ماشین‌ها و اجزای مختلف وارد می‌شود. عملیات سطحی به عنوان موثرترین و ارزان‌ترین روش تولید مواد سخت، برای اجزای ماشین استفاده می‌شود. در چند دهه گذشته نیاز به بهبود قابل توجه خواص سطحی آلیاژهای مهندسی منجر به پیشرفت در بسیاری از روش‌های عملیات سطحی شده است. همچنین در بسیاری از موارد، به کارگیری آلیاژهای گران‌قیمت و مقاوم به خوردگی و سایش عمل چندان صحیح نیست و عملاً از لحاظ اقتصادی استفاده از مواد ساده‌تر به دلیل قیمت کمتر و قابلیت تغییر شکل آسان‌تر ارجحیت دارد. در این‌گونه موارد توصیه می‌شود سطح قطعات با استفاده از پوشش‌های سطحی محافظت شود. پوشش‌دهی سطح یکی از متنوع‌ترین روش‌ها برای افزایش طول عمر و بهبود کارایی اجزا مورد استفاده می‌باشد. پوشش دادن یکی از روش‌های تکمیل سطح مواد است که به منظورهای مختلفی از جمله وسایل تزئینی، بهداشتی و مکانیکی اعمال می‌شود و با استفاده از آن می‌توان خواص خوردگی، سایشی و اصطکاکی فلزات را بهبود بخشد و هزینه تولید را با توجه به عمر نهایی کاهش داد [۳-۴].

پوشش‌ها دو دسته‌اند، دسته اول پوشش‌های نجیب‌تر از فلز اصلی، دسته دوم پوشش‌های فعال‌تر از فلز اصلی. اگر پوشش فعال‌تر از فلز اصلی و دارای حفره‌هایی باشد آنگاه چون سطح این حفره‌ها کمتر از سطح پوشش است لذا پلاریزاسیون در فلز اصلی به آسانی اتفاق می‌افتد. شبیه پلاریزاسیون با افزایش سطح نقاط لخت کم می‌شود. اگر

میلی‌متر و ضخامت ۴ میلی‌متر برای عملیات پوشش دهی استفاده شده است. همچنین به منظور بررسی اثر اکسیدسریم، این ماده به میزان ۱,۳۵ درصد وزنی به پودر پایه اضافه گردید. در این تحقیق از پودر اکسیدسریم (مرک آلمان) با خلوص ۹۹/۹ درصد استفاده شد. مشخصات اکسیدسریم مصرفی در جدول (۲) آمده است.

جدول ۲. مشخصات اکسیدسریم مصرفی [۱۳].

CeO <sub>2</sub>	فرمول شیمیایی
۱۷۲/۱۱ gr/mo	جرم مولکولی
۲۱۵/۷ g/cm <sup>۳</sup>	چگالی
۲۴۰۰ <sup>°</sup> C	دماهی ذوب
۳۵۰۰ <sup>°</sup> C	دماهی جوش
۹۹/۹٪	خلوص
جامد زرد رنگ	شکل ظاهری
۲۰-۵۳ میکرون	اندازه دانه

## ۱-۲- آماده‌سازی نمونه‌ها

برای آماده‌کردن نمونه‌های St37 به منظور پوشش دهی، ابتدا قطعه مورد نظر را برای پوشش دهی به دقت تمیز و خشک کردیم و در یک محفظه بسته محتوی مخلوط پودر نیکل و یک فعال‌کننده (کلرید آمونیوم) و یک عامل پرکننده (پودر اکسید آلومینا) برای جلوگیری از زیتر شدن در دمای بالا قرار دادیم. سپس سطح نمونه‌ها برای حذف لایه اکسیدی و رسیدن به سطح یکنواخت سنگزده شده و به ترتیب به مدت ۱ دقیقه در استن قرار گرفتند. پس از شتشوی مجدد با آب مقطر وارد مرحله اسیدشویی شدند. بدین ترتیب نمونه‌ها به مدت ۳۰ ثانیه در محلول ۱۰٪ حجمی اسیدسولفوریک قرار گرفتند تا روی سطح آنها پستی و بلندی ایجاد گردد. در آخرین مرحله نیز نمونه‌ها دوباره با آب مقطر و سپس اتانول شسته شدند و فوراً در بستر پودر قرار گرفتند. برای این‌که عملیات پودری فشرده بهتر انجام شود نمونه‌ها ابتدا در یک بوته آلومینایی دردار استوانه‌ای با قطر داخلی ۷ سانتی‌متر و ارتفاع ۱۲ سانتی‌متر از جنس فولاد نسوز قرار داده شدند. پودر مصرفی مخلوطی از آلومینا، کلرید آمونیوم و پودر آلیاژی پایه‌نیکل بود. برای ایجاد

فعال کننده هالیدی NH<sub>4</sub>Cl در اثر حرارت تجزیه شده تبدیل به گاز هالیدی می‌شود سپس با پودر فلزی در بوته واکنش داده و تشکیل بخار هالید فلزی داده که این ترکیب به زیرلایه برای ایجاد پوشش انتقال می‌یابد. این ترکیب در تماس با نمونه فلزی تجزیه شده و فلز مورد نظر روی سطح نمونه رسوب می‌کند و دیفوژیون در حالت جامد بین عنصر فلزی و زیرلایه تشکیل می‌شود [۱۰-۹]. در تحقیقات انجام شده اثر افزودنی اکسیدسریم بر ریزساختار و مقاومت به خوردگی پوشش‌های سمنتاسیونی پایه‌نیکل NiCrBSi بررسی شده است. این پوشش‌ها براساس اندازه دانه، توزیع عناصر، تخلخل و مقاومت به خوردگی ناشی از خراشیدگی با پوشش بدون افزودنی اکسیدسریم مقایسه شده‌اند. نتایج نشان داد که میزان بهینه اکسیدسریم می‌تواند باعث کوچکتر شدن اندازه دانه‌ها و بیشتر شدن مقاومت به خوردگی شود [۱۱-۱۲]. هدف از انجام این تحقیق بررسی ریزساختار و درصد بازدارندگی اکسیدسریم بر روی آلیاژ پایه‌نیکل با روش پوشش‌دادن سمنتاسیون فشرده است.

## ۲- روش تحقیق

در این تحقیق از فولاد زیرلایه St37 و پودر آلیاژی پایه‌نیکل با نام تجاری GTV ۸۰.۱۵.۱ برای ایجاد پوشش‌های پایه نیکل بر روی زیرلایه فولادی استفاده شده است. مشخصات پودر در جدول (۱) آورده شده است.

جدول ۱. ترکیب شیمیایی آلیاژ پایه‌نیکل.

عناصر	درصد وزنی
Cr	۲۴
B	۳/۵
Si	۴/۵
Fe	۴/۵
C	۷/۵
Ni	۵۶
	۱۰۰

در این تحقیق پودر، کروی شکل به اندازه قطر ۲۰ تا ۵۳ میکرون بوده که با زیرلایه فولادی به شکل مکعب با ابعاد ۶×۶

از فازها و اجزای سازنده آن از طریق مقایسه زاویه و شدت پیک‌های پراش با اطلاعات موجود در کارت‌های استاندارد مشخص و تعیین شد. این عمل به کمک نرمافزار X'PertHighScore صورت گرفت.

## ۲-۲-آماده سازی جهت آزمون الکتروشیمیایی

### - تهیه محلول خورنده

در این تحقیق محلول  $\frac{3}{5}$  درصد NaCl انتخاب شد. جهت آماده‌سازی محلول ۷ گرم سدیم کلراید صنعتی را در ۱۹۳ سی سی آب دو بار تقطیر به حجم رساندیم.

### - آزمون پلاریزاسیون تاول

برای انجام این آزمایش، نمونه باید در محلول خورنده‌غوطه‌ور باشد. برای این کار ابتدا نمونه‌ها را باید با چسب نقره به سیم مسی روکش‌دار متصل می‌کردیم تا جریان برقرار باشد سپس تمام نقاط نمونه را به جز سطح مورد نظر لاک زدیم تا برای برای آزمایش آماده گردد. آزمون‌های پلاریزاسیون پتانسیوبدینامیک براساس سیستم سه الکترودی صورت گرفت و اندازه‌گیری با دستگاه پتانسیواستات مدل Parstat 2273 A در دانشگاه آزاد نجف‌آباد انجام شد.

الکترود مرجع از نوع کالومل اثباع (SCE)، الکترود کمکی گرافیت و الکترود کاری فولاد ساده کربنی با سطح در معرض  $1/13$  سانتی‌متر مربع استفاده شد. تمام پتانسیل‌های ارائه شده و نتایج، با الکترود مرجع کالومل ارزیابی شد. محدوده پتانسیل انتخابی  $-250$  تا  $+250$  میلی‌ولت نسبت به کالومل اثباع، نرخ روش  $1 \text{ mV/s}$  و دمای آزمایش دمای اتاق درنظر گرفته شد. زمان غوطه‌وری نمونه را برای رسیدن به حالت تعادل قبل از انجام آزمایش توسط آزمایش T vs. E و همچنین با مطالعه ASME G61 مشخص و زمان  $60$  دقیقه انتخاب شد. داده‌های حاصل از آزمون پلاریزاسیون پتانسیوبدینامیک جهت بررسی میزان خوردنگی، تعییرات دانسیته جریان، پتانسیل خوردنگی، ارزیابی بازده بازدارنده یا پوشش و یا به طور کلی سیستم حفاظتی مورد استفاده قرار گرفت. از نرمافزار corr view جهت استخراج  $E_{\text{cor}}$ ,  $\beta_a$ ,  $\beta_c$  و  $I_{\text{cor}}$  استفاده شد.

شرایط خلاء درون یک بوته بزرگتر از جنس فولاد نسوز که اطراف آن از براده چدن پر شده بود، قرار گرفت. بعد از پلیپ کردن درب بوته فولادی توسط گل نسوز، ابتدا درون خشک‌کن به مدت ۲ ساعت و پس از گذشت یک روز در دمای  $900$  درجه سانتی‌گراد به مدت ۴ ساعت قرار گرفت. نمونه‌ها بعد از گذشت ۴ ساعت در کوره تا دمای اتاق سرد شدند. در جدول (۳) مشخصات مواد مصرفی با درصدهای مختلف در بوته ساخته شده نشان داده شده است.

جدول ۳. مشخصات مواد مصرفی در بوته آلومینیمی با درصدهای مختلف.

مشخصات ماده	wt%
پودر آلیاژ پایه نیکل با دانه‌بندی $20-53$ میکرون	٪۳۰
پودر اکسید آلومینیم با دانه‌بندی $120$ میکرون	٪۶۷
پودر کلرید آمونیم با دانه‌بندی $240$ میکرون	٪۳

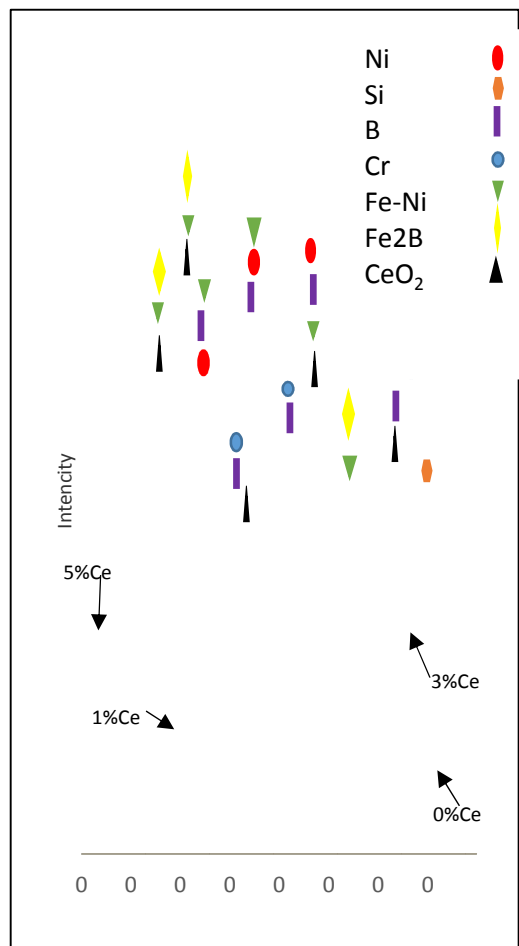
جدول ۴. مشخصات ترکیب پودر مصرفی در درصدهای مختلف افزودنی.

نوع فرایند	ترکیب پودر
A	٪۳۰ پودر پایه نیکل + ٪۳۰ آمونیوم + ٪۶۷ آلومنیم
B	٪۳۰ آلومنیم + ٪۶۶ کلرید آمونیوم + ٪۳۰ پودر پایه نیکل
C	٪۳۰ آلومنیم + ٪۶۴ کلرید آمونیوم + ٪۳۰ CeO <sub>2</sub>
D	٪۳۰ آلومنیم + ٪۶۲ کلرید آمونیوم + ٪۳۰ CeO <sub>2</sub>

بعد از انجام مرحله پوشش، به منظور فازیابی از آزمون پراش پرتو ایکس (X-Ray) توسط دستگاه فیلیپس (Philips) در شرایط کاری  $40 \text{ kV}$  و  $40 \text{ mA}$ ، در محدوده  $10-90^{\circ}$  و محفوظه نگهداری نمونه از جنس آلومینیوم، با لامپ مس (ka = 1/540598) موجود در دانشگاه آزاد اسلامی واحد نجف آباد انجام شد. پس از حصول الگوی پراش پرتو ایکس هر یک

### ۳- نتایج و بحث

#### ۱- بررسی آنالیز فازی



شکل ۱. الگوی پراش اشعه ایکس (XRD) نمونه‌های پوشش داده شده به روش سماتاتاسیون فشرده با درصدهای مختلف اکسیدسیریم.

#### ۲-۳- بررسی SEM و EDS

شکل (۲) تصاویر میکروسکوپ الکترونی نمونه ۰.۵٪ اکسیدسیریم را قبل از خوردگی (الف) و بعد از خوردگی (ب) نشان می‌دهد. همان‌طور که مشاهده می‌شود قبل از قرارگرفتن نمونه در معرض خوردگی اکسیدسیریم، ساختار دانه درشت‌تر و گلوله‌ای شکل دارد و باعث فشردگی و متراکم شدن ساختار شده است که بعد از قرارگرفتن در محلول خوردگی، اکسیدسیریم در سطح پخش شده و باعث حفاظت پوشش می‌شود.

#### ۳- نتایج و بحث

#### ۱- بررسی آنالیز فازی

الگوی پراش اشعه ایکس (XRD) نمونه‌های با اکسید سریم و بدون اکسید سریم پوشش داده شده به روش سماتاتاسیون فشرده در شکل (۱) نشان داده شده است. براساس مقایسه ترکیب فازی نمونه فاقد افزودنی و نمونه‌های حاوی افزودنی موارد زیر قابل استنتاج است:

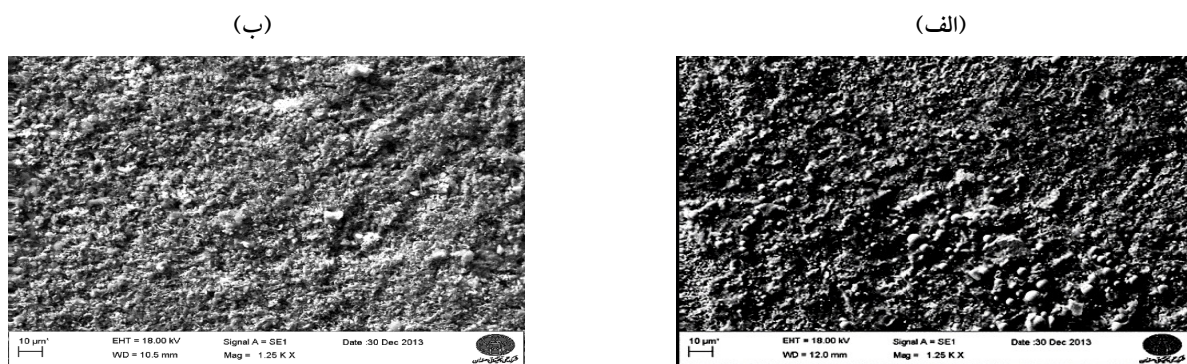
- در نمونه فاقد اکسیدسیریم پیک‌های مربوط به آلیاژ نیکل و زیرلایه نشان داده شده که در آن پیک نیکل از شدت بیشتری نسبت به نمونه‌های دیگر برخوردار است.

- نمونه ۰.۱٪ اکسیدسیریم دارای فازهای Ni, Fe-Ni, B, Si می‌باشد. شدت این فازها نسبت به نمونه‌های ۳٪ و ۵٪ بسیار پایین است که نشان دهنده ساختار آمورف آن می‌باشد.

- نمونه ۰.۳٪ نسبت به نمونه بدون افزودنی دارای فازهای Si, Cr, Fe<sub>2</sub>B, CeO<sub>2</sub> می‌باشد. همچنین میزان فاز CeO<sub>2</sub> در نمونه ۰.۳٪ بیشتر از نمونه ۰.۱٪ اکسید سریم است.

- نمونه ۰.۵٪ نسبت به دیگر نمونه‌ها دارای پیک‌های شدیدتری است. فازهای موجود در این پوشش عبارتند از: Ni, Fe<sub>2</sub>B, Ni-Cr, CeO<sub>2</sub>, Cr-B, Si, Ni-Fe ۰.۳٪ به صورت محسوس و در نمونه ۰.۵٪ کاملاً واضح است. در نمونه ۰.۵٪ دو پیک پهن در زاویه ۴۴ و ۴۲ درجه وجود دارد که مربوط به فازهای Ni, B, Ni-Fe, Cr, Ni است که این دو پیک در نمونه ۰.۳٪ وجود ندارد.

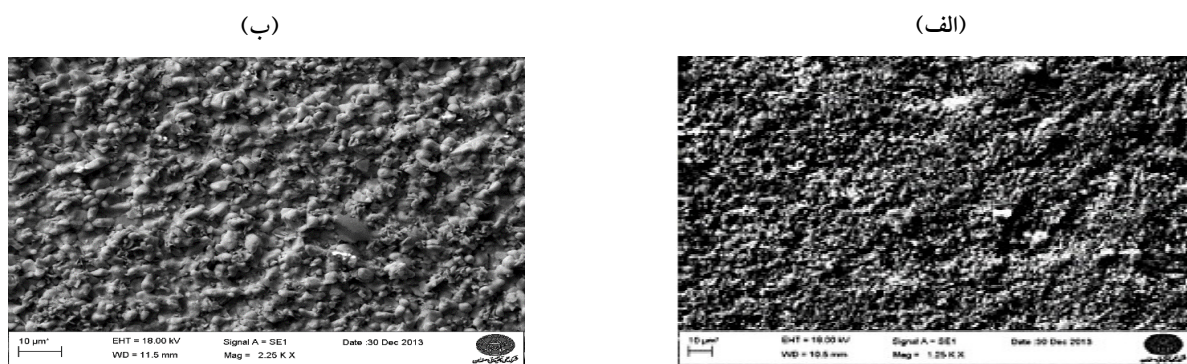
- به دلیل سرعت نفوذ بیشتر کرم در آهن نسبت به سرعت نفوذ نیکل در آهن، ترکیبات اصلی پوشش شامل کرم است. طبق آنالیز XRD فازهای Fe-Cr, Ni-Cr, B-Cr در پوشش ثابت شده‌اند که این فازها باعث افزایش سختی و مقاومت به سایش پوشش می‌شوند. به علاوه افزایش مقاومت به خوردگی پوشش نیز به خاطر تشکیل لایه متراکم فاز Cr<sub>2</sub>O<sub>3</sub> بر روی سطح پوشش است [۱۴].



شکل ۲. تصاویر SEM برای نمونه پوشش داده شده به روش سماتاتسیون (۵٪ اکسیدسریم) (الف) قبل از خوردگی، (ب) بعد از خوردگی.

دانه‌ها درشت‌تر و تراکم کمتر است و حضور سریم باعث فشردگی و متراکم شدن ساختار شده است.

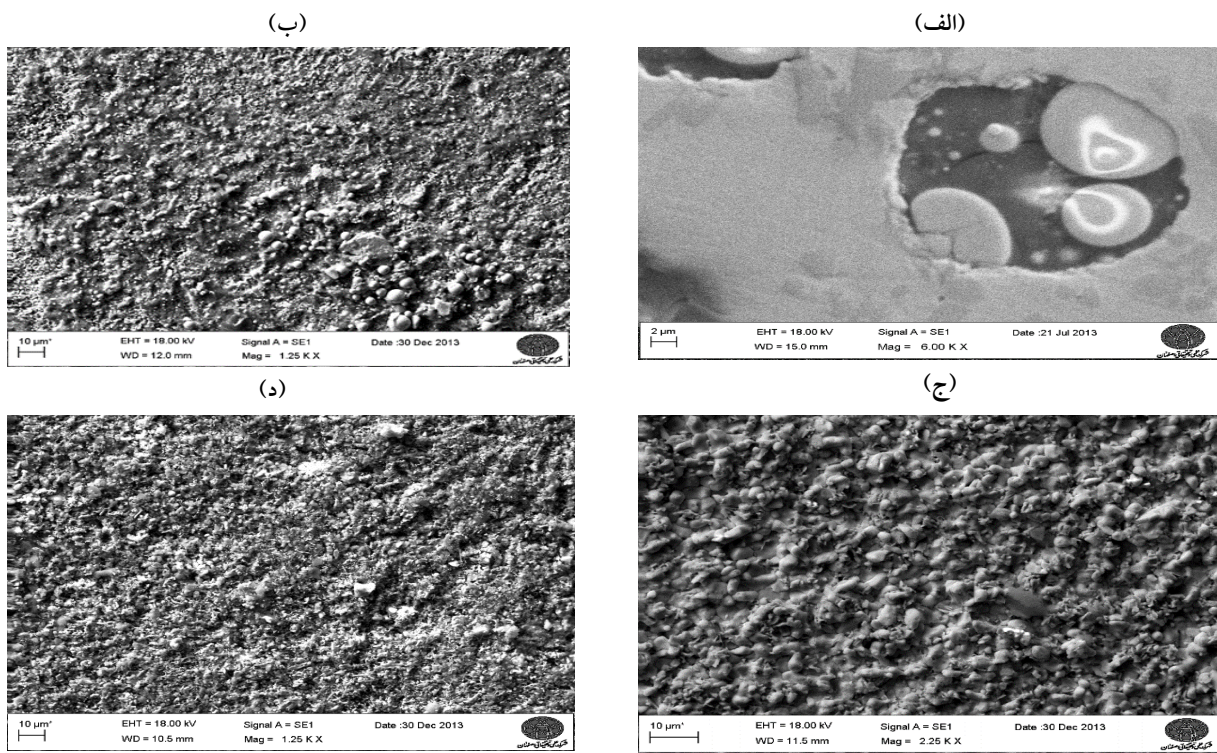
شکل (۳) تصاویر میکروسکوپ الکترونی نمونه‌های فاقد افزودنی (الف) و (۰.۳٪ اکسیدسریم (ب) را نشان می‌دهد. همان‌طور که مشاهده می‌شود بدون حضور اکسیدسریم ساختار



شکل ۳. تصاویر SEM برای نمونه پوشش داده شده به روش سماتاتسیون (الف) فاقد افزودنی، (ب) ۰.۳٪ افزودنی.

افزودن اکسیدسریم در پوشش پایه‌نیکل باعث ریزشدن ساختار و تراکم بیشتر پوشش می‌شود. ریزشدن ساختار پوشش را می‌توان به علت نقطه ذوب بالای آن دانست (۲۰۰۰ درجه سانتی‌گراد) که باعث شده این افزودنی به عنوان محل‌های جوانهزنی برای رشد دانه‌ها عمل کند. همچنین باعث کندشدن رشد دانه‌ها می‌شود. علاوه بر این اکسیدسریم می‌تواند انرژی کشش سطحی را کاهش دهد که به نوبه خود باعث کاهش جوانهزنی بحرانی و افزایش ذرات جوانهزا می‌شود.

در شکل (۴) مشاهده می‌شود نمونه دارای ۱ درصد اکسید سریم دارای حفرات زیادی در مقایسه با نمونه‌های با ۳ و ۵ درصد اکسید سریم و نمونه بدون افزودنی است. دلیل آن این است که نمونه ۱٪ اکسیدسریم در کوره با اتمسفر هوا عملیات حرارتی شده و نمونه‌های دیگر در کوره تحت خلاء، بنابراین می‌توان گفت عملیات حرارتی در کوره و در اتمسفر هوا باعث ایجاد حفرات زیادی در پوشش شده است.

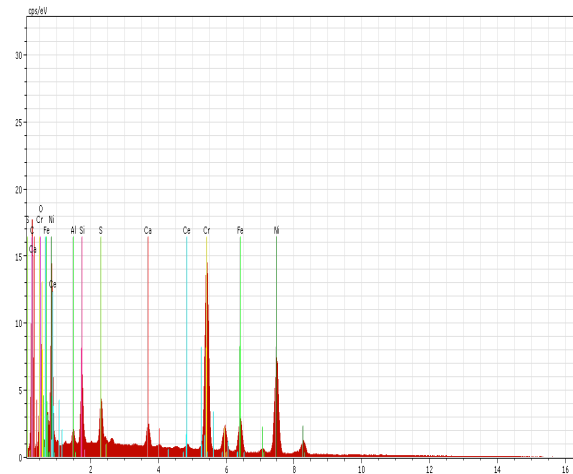


شکل ۴. تصاویر SEM برای نمونه‌های پوشش داده شده به روش سماتاسیون (الف) ۱٪ اکسیدسربیم، (ب) ۰.۵٪ اکسیدسربیم، (ج) ۰.۱٪ اکسیدسربیم.

جدول ۵. داده‌های بدست آمده از EDS برای نمونه ۰.۵٪ اکسیدسربیم.

%At	%wt	عنصر
۲۹	۱۶	اکسیژن
۲۳	۳۶	نیکل
۲۶	۲۶	کرم
۲	۲	کلسیم
۴	۳	سیلیکون
۷	۴	سولفور
۷	۸	آهن
۲	۵	سریم
۱۰۰	۱۰۰	جمع

شکل (۵) تصویر آنالیز نمونه ۰.۵٪ اکسیدسربیم و جدول (۵) این آنالیز را بر حسب درصد اتمی و درصد وزنی نشان می‌دهد.



شکل ۵. نتایج EDS برای نمونه ۰.۵٪ اکسید سربیم.

دیگر استحکام چسبندگی پوشش به زیرلایه بیشتر از حد استحکام کششی چسب است. این درحالی است که استحکام میباشد. شکل (۷) سطح مقطع جدایش پوشش سماتاتاسیونی را در آزمون استحکام چسبندگی نشان می‌دهد. همان‌طور که دیده می‌شود، بالا بودن میزان چسبندگی پوشش به علت یکپارچه شدن و نفوذ عناصر آلیاژی پوشش به زیرلایه در فصل مشترک است.

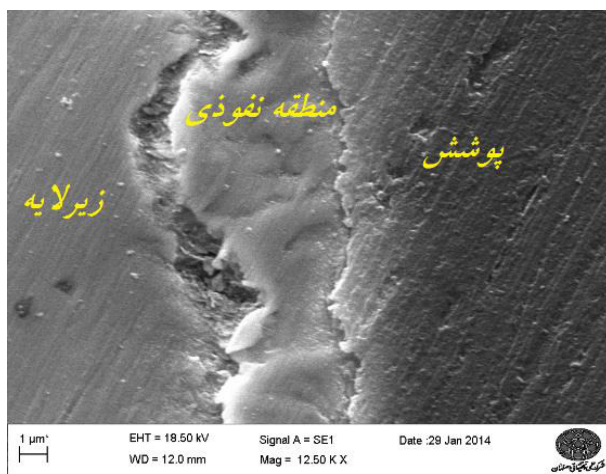
جدول ۶. داده‌های به دست آمده از آزمایش چسبندگی پوشش.

ملاحظات	استحکام چسبندگی (Mpa)	نمونه	روش پوشش دهی
جدایش در اتصال چسب	بزرگتر از ۵۰	بدون افزودنی	سماتاتاسیون فشرده
جدایش در اتصال چسب	بزرگتر از ۵۰	۱ درصد اکسید سریم	سماتاتاسیون فشرده
جدایش در اتصال چسب	بزرگتر از ۵۰	۳ درصد اکسید سریم	سماتاتاسیون فشرده
جدایش در اتصال چسب	بزرگتر از ۵۰	۵ درصد اکسید سریم	سماتاتاسیون فشرده

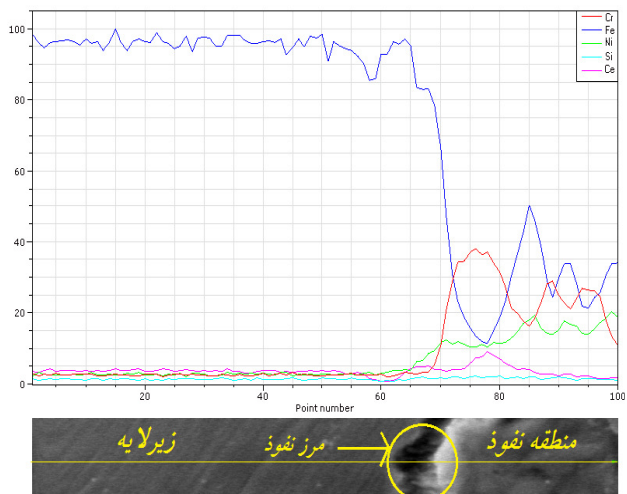


شکل ۸ تصویر نمونه‌های آزمایش شده در چسبندگی پوشش.

شکل (۶) تصویر مقطع عرضی نمونه ۵٪ اکسیدسریم پوشش داده شده به روش سماتاتاسیون فشرده و شکل (۷) تصویر آنالیز خطی از همین نمونه را نشان می‌دهد. هدف از انجام این آزمایش مشاهده نفوذ عناصر پوشش به منطقه تحت نفوذ و مشاهده منحنی آنها است.



شکل ۶. تصویر مقطع عرضی نمونه ۵٪ اکسیدسریم پوشش داده شده به روش سماتاتاسیون فشرده.



شکل ۷. تصویر آنالیز EDS خطی از مقطع عرضی نمونه ۵٪ اکسیدسریم پوشش داده شده به روش سماتاتاسیون فشرده.

### ۳-۳- آزمایش چسبندگی پوشش

جدول زیر میزان استحکام چسبندگی پوشش‌های پاشش سماتاتاسیونی را نشان می‌دهد. همان‌گونه که نتایج به دست آمده نشان می‌دهد استحکام چسبندگی پوشش ایجاد شده توسط روش سماتاتاسیون فشرده قابل قبول است. در تمام پوشش‌ها جدایش در اتصال چسب داده است. به عبارت

الکترون‌های از دست رفته، D چگالی فلز برحسب گرم بر سانتی‌متر مکعب می‌باشد. شکل (۸) منحنی‌های پلاریزاسیون تافال را برای نمونه‌ها با درصد‌های وزنی مختلف اکسیدسریم عملیات حرارتی شده در دمای ۹۰۰ درجه سانتی‌گراد به مدت ۴ ساعت نشان می‌دهد. طبق شکل (۸) با افزایش اکسیدسریم در ساختار پوشش، مقاومت به خوردگی پوشش افزایش پیدا خواهد کرد.

کلیه پارامترهای به دست آمده از شکل (۸) و اعمال فرمول‌های (۱) و (۲) در جدول (۶) نشان داده شده است. همان‌طور که مشاهده می‌شود نمونه با ۵ درصد وزنی اکسیدسریم کمترین چگالی جریان خوردگی را دارد و پتانسیل خوردگی آن به سمت مقادیر مثبت‌تر جابه‌جا شده است. همچنین نرخ خوردگی در این نمونه در مقایسه با سایر نمونه‌ها از مقدار کمتری برخوردار است. بنابراین افزایش اکسیدسریم در ساختار باعث بهبود رفتار خوردگی نمونه‌ها گردیده است. با توجه به تمامی مطالعه‌ای از منحنی‌های پلاریزاسیون پتانسیو‌دینامیک و همچنین پارامترهای استخراج شده از نمودار و روابط قید شده، نمونه با ۵ درصد وزنی اکسیدسریم بهترین خواص مقاومت به خوردگی را دارد.

#### ۴-۳- بررسی الکتروشیمیایی

در بررسی پلاریزاسیون دینامیک تافال، نمونه‌ها قبل از انجام این آزمون توسط آزمایش پتانسیل- زمان مورد سنجش قرار گرفتند.

طبق این آزمون ۶۰ دقیقه زمان لازم است تا نمونه فولادی پایه نیکل در محلول به حالت پایا برسد، پس به طور کلی بعد از تقریباً ۶۰ دقیقه قرارگیری نمونه‌ها در محلول، آزمون پلاریزاسیون دینامیک انجام شد.

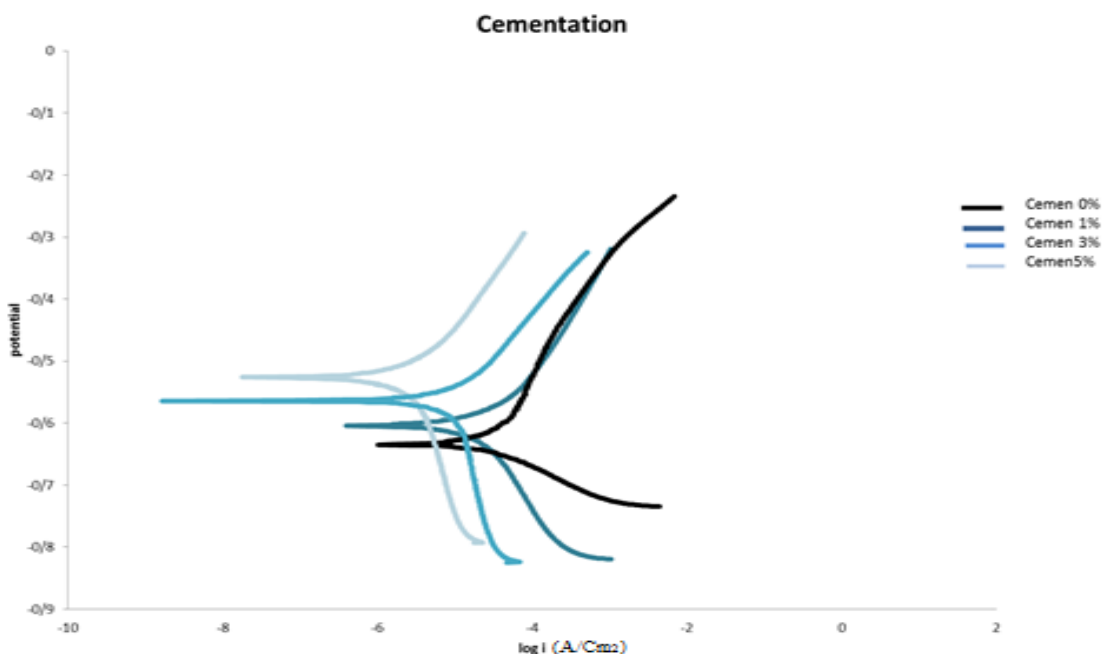
همان‌طور که در شکل (۸) مشاهده می‌شود در قیاس منحنی نمونه خام و بدون پوشش با نمونه‌های پوشش داده شده، کاهش چگالی جریان خوردگی را در هر ۳ نمونه پوشش داده شده مشاهده می‌کنیم. برای به دست آوردن درصد بازدارندگی از رابطه (۱) استفاده می‌شود.

$$\text{IE\%} = \frac{\text{Icorr0}-\text{Icorr}}{\text{Icorr0}} \quad (\text{رابطه ۱})$$

نرخ خوردگی از طریق رابطه (۲) محاسبه شد:

$$\text{mpy} = \frac{0.129 \times a \times \text{Icorr}}{n \times D} \quad (\text{رابطه ۲})$$

چگالی جریان خوردگی (I Corr) بر حسب میلی‌آمپر بر سانتی‌متر مربع می‌باشد. a وزن اتمی فلز برحسب گرم، n تعداد



شکل ۹. منحنی‌های پلاریزاسیون برای نمونه‌های فولاد پایه‌نیکل در درصد‌های مختلف اکسیدسریم در محلول ۳/۵٪ نمک طعام.



جدول ۷. داده‌های به دست آمده از منحنی‌های پلاریزاسیون نمونه‌های پوشش داده شده به روش سماتاتاسیون فشرده.

نمونه	Corr. Rate (mpy)	I corr (mA/cm <sup>2</sup> )	- Ba (mv)	- Bc (mv/-1)	E corr (mv)	EI%
%	۲۴	۰.۵	۲۶۸.۹	۷۴.۸	۶۳۳	-
٪۱	۱۸	۰.۴	۹۵۴.۲	۱۱۲.۳	۶۳۳.۱	۱۱.۲
٪۳	۱۰	۰.۱	۱۰۵	۵۵۶.۵	۵۶۲.۷	۶۳.۶
٪۵	۵	۰.۰۵	۱۶۰.۵	۱۲۹۳.۳	۵۲۵.۱	۸۶.۱

## مراجع

1. Miao, Lu, Y. N. Wang, and Y. H. Li. "The Effect of Different CeO<sub>2</sub> Addition on Performance of Ni-WC Composite Coating by Vacuum Fusion Sintering." Advanced Materials Research 750 (2013), 2052-2056.
2. H. Saricimen, A. Quddus, and A. Ul-Hamid. "Hot corrosion behavior of plasma and HVOF sprayed Co-and Ni-based coatings at 900° C." Protection of Metals and Physical Chemistry of Surfaces 50.3 (2014), 391-399.
3. B.B. et.al, "Materials, Coating and Surface Treatments", Handbook of tribology, MC graw-Hill, New York,1991.
4. R.C. Tucker, "Thermal Spray Coatings", ASM Handbook, Volume 5: Surface Engineering, 1994, 497-509.
5. قربانی.م، "پوشش دادن فلزات" ، ۱۳۷۹، جلد اول، چاپ اول، دانشگاه صنعتی شریف ، موسسه انتشارات علمی.
6. R .Bianco, R.A.Rapp, "Pack Cementation Diffusion Coating", Metallurgical and Ceramic Protective Coatings, Chapman & Hall, London, 1996.
7. Z. Zhang, X. Lu, B. Han, J. Luo, " Rare earth effect on the microstructure and wear", Materials Science and Engineering, , 2007, 454-455.
8. S.P. Sharma, D.K. Dwivedi, P.K. Jain, "Effect of La<sub>2</sub>O<sub>3</sub> Addition on the Microstructure, Hardness and Abrasive Wear Behavior of Flame Sprayed Ni Based Coatings", Part J- Journal of Engineering Tribology, 2009, 853-859.
9. C. Mortimer , I. Yavari , "General Chemistry", Publication of academic science , Vol .1, 1975.
10. S.P. Sharma, D.K. Dwivedi, P.K. Jain, "Effect of CeO<sub>2</sub> addition on the Ni-based Coatings" , Part J- Journal of Engineering Tribology, Vol. 222, 2008, 925-933.
11. D. Chaliampalias, G. Stergioudis, S. Skolianos, G. Vourlias, "The effect of the deposition temperature and activator concentration on the structure of NiCrBSi coatings deposited on low carbon steels by pack cementation process" ,Materials Letters, Vol. 62, 2008 , 4091-4093.
12. D. Chaliampalias a, G. Vourlias a, E. Pavlidou a, S. Skolianos b, K. Chrissafis a, G. Stergioudis a . "Comparative examination of the microstructure and high temperature oxidation performance of NiCrBSi flame sprayed and pack cementation coatings"Applied Surface Science, Vol. 255, pp.3605-3612, 2009
13. Available from: <http://en.wikipedia.org/wiki/cerium oxide> Last visit January 2014
14. D. Chaliampalias a, G. Vourlias a, E. Pavlidou a, S. Skolianos b, K. Chrissafis a, G. Stergioudis a . "Comparative examination of the microstructure and high temperature oxidation performance of NiCrBSi flame sprayed and pack cementation coatings"Applied

## ۴- نتیجه‌گیری

- ۱- پایین بودن زمان عملیات حرارتی باعث ایجاد ساختار آمورف در نمونه‌های فاقد افزودنی و ٪۱ اکسیدسریم شده که این موضوع در آزمون XRD نمونه‌ها در کمترین شدت پیک‌ها نسبت به نمونه‌های ۳ و ۵ درصد واضح است.
- ۲- افزودن اکسیدسریم در پوشش پایه‌نیکل باعث ریز شدن ساختار و تراکم بیشتر پوشش می‌شود. ریزش ساختار پوشش را می‌توان به علت نقطه ذوب بالای اکسیدسریم (۲۰۰۰°C) دانست که باعث شده این افزودنی به عنوان محلهای جوانه زنی برای رشد دانه‌ها عمل کند و همچنین باعث کند شدن رشد دانه‌ها شود. علاوه بر این اکسید سریم می‌تواند انرژی کشش سطحی را کاهش دهد که به نوبه خود باعث کاهش جوانه زنی بحرانی و افزایش ذرات جوانه‌زا می‌شود.
- ۳- بعد از بررسی‌های به عمل آمده از آزمون تافل نمونه‌های پوشش داده شده به روش سماتاتاسیون، مشاهده شد که با افزایش درصد سریم چگالی نمونه‌ها کاهش پیدا می‌کند و کمترین چگالی مربوط به نمونه ٪۳ سریم می‌باشد. همچنین با مقایسه سرعت خوردگی، مشاهده شد که نمونه بدون افزودنی دارای بیشترین سرعت خوردگی و نمونه ٪۵ سریم دارای کمترین سرعت خوردگی می‌باشد.
- ۴- با مقایسه درصد بازدارندگی پوشش نمونه‌ها دریافتیم که نمونه ۵ درصد سریم با معیار ٪۸۶ دارای بیشترین درصد بازدارندگی می‌باشد.

